

- Nittel (RaS) kann daher aus dem transformierten Signal berechnet werden. Der erfordergemäßige Einsatz der Wavelet-Transformation hat Vorteil, dass dieser weniger rechenintensiv als herkömmliche Filteroperationen ist und dass aus dem wavelet-transformierten Signal gleichzeitig zusätzliche Informationen für andere Anwendungen gewonnen werden können.
- [0012] Die Wavelet-Transformation wird vorzugsweise als diskrete digitale Wavelet-Transformation implementiert. Für die Anwendung der Transformation im Rahmen der Geräuschanalyse haben sich insbesondere Coiflet 2 Skalierungsfunktionen und Wellentumfonnen als geeignet erwiesen.
- [0013] Die Erfindung beruft ferner ein Verfahren zur rückgekoppelten Regelung des Geräuschpegels einer Brennkraftmaschine, insbesondere eines Dieselmotors, wobei auf den Geräuschpegel über eine Veränderung der Motorbetriebsparameter Einfluss genommen wird. Das Verfahren ist dadurch gekennzeichnet, dass der Eingangssignal für die Regelung dominante Geräuschpegel des Motors nach einem Verfahren der oben erläuterten Art bestimmt wird. Dabei, dass der Zylinderdruck gemessen und mit Hilfe einer Wavelet-Transformation geltend wird.
- [0014] Im Folgenden wird die Erfindung anhand der Zeichnungen beschrieben. Es zeigen:
- Fig. 1 eine schematische Darstellung einer Wavelet-Transformation eines Zylinderdrucksignals;
- Fig. 2 das Schema eines Bestimmungsgerätes für einen Geräuschindex nach dem Stand der Technik;
- Fig. 3 ein Amplitudendiagramm von digitalen und analogen Versionen des Systems nach Figur 2;
- Fig. 4 Frequenzbänder einer Zwei-Niveau Coiflet 2 Wavelet-Transformation;
- Fig. 5 ein Amplitudendiagramm zum Vergleich von herkömmlichen Filtern und von Wavelet-Filtern;
- Fig. 6 eine schematische Darstellung eines Systems zur wavelet-basierten Bestimmung des Verbrennungsgeräusches;
- Fig. 7 eine Coiflet 2 Skalierungsfunktion und Wavelet-Funktion;
- Fig. 8 die Korrelation zwischen einem herkömmlich bestimmten und einem wavelet-basierten Geräuschindex;
- Fig. 9 die bei einer Fourier-Transformation und bei einer Wavelet-Transformation verwendeten Basisfunktionen;
- Fig. 10 Frequenzantworten in dem Filterpaar für die Coiflet 2 Wavelet-Transformation und
- Fig. 11 eine baumartige Struktur der Filter für die Wavelet-Transformation.
- [0015] In Figur 2 ist der Aufbau einer herkömmlichen Verbrennungsgeräusch-Messanordnung nach dem Stand der Technik schematisch dargestellt. Das Verbrennungsgeräusch kann aus dem Verlauf des Zylinderdrucks p bestimmt werden. Dieser wird in einer Kurbelwellenhülle ϑ des Systems von Figur 2 auf ein bestimmtes Referenz-Schaltdruckniveau bezogen. In einem anschließenden Filterblock 2 wird zunächst das sogenannte strukturelle Dämpfung berücksichtigt, bei der die Motorsstruktur als ein Filter (eine Übertragungsfunktion) angesehen wird, welche die Dämpfung des durch den Verbrennungsprozess angeregten Zylinderdrucksignals auf hörbare Geräusche in einer gewissen Entfernung vom Motorblock beschreibt. Weiterhin kann die Empfindlichkeit des menschlichen Ohres durch Anwendung eines zweiten Filters im Filterblock 2 nach der strukturellen Dämpfung berücksichtigt werden, was die sogenannte A-Gewichtung darstellt.
- [0016] Aus dem vom Filter 2 erhaltenen Spektrum kann ein Index für den Geräuschpegel durch Berechnung des quadratischen Mittels (RaS) abgeleitet werden. Dieses geschieht in Block 3. Im letzten Block 4 des Systems nach Figur 2 findet eine Konversion in die Einheit dB(A) statt.
- [0017] Figur 3 zeigt ein Amplitudendiagramm für den Filter 2 von Figur 2 mit kombinierter Strukturdämpfung und A-Gewichtung. Die Abbaufrequenz beträgt dabei 12 kHz.
- [0018] Bei bestimmten Verbrennungsgeräusch-Messgeräten wird für die Bestimmung des Verbrennungsgeräusches nur ein bestimmter Frequenzband berücksichtigt. Die Form des Strukturdämpfungsfilters ist aus der Messung einer großen Anzahl von Lastwagengenmotoren und Traktormotoren abgeleitet und repräsentiert die Dämpfung eines durchschnittlichen Verbrennungsstroms. In ähnlicher Weise spielt die A-Gewichtungsmöller eine mittlere Empfindlichkeit des menschlichen Ohres wider. Der bei den verkannten Verbrennungsgeräusch-Messgeräten ermittelte Geräuschpegel ist daher nicht als absolute Maß für das Verbrennungsgeräusch, sondern eher als relativer Wert zu betrachten, der den Vergleich von Verbrennungsvariationen ermöglicht.
- [0019] Im Gegensatz zu dem in Figur 2 dargestellten System wird erfindungsgemäß eine auf Wavelets basierende Berichtigung des Geräuschindex vorgenommen. Eine detaillierte Beschreibung der Grundlagen der Wavelet-Transformation erfolgt weiter unten.
- [0020] Die Wavelet-Transformation zerlegt ein Signal in ein Approximationssignal und mehrere Detailsignale. Die Transformation erfolgt durch wiederholtes Filtern des ursprünglichen Signals, was zu Detailsignalen mit bandbeschränkten Frequenzmitten führt. Für die wavelet-basierte Geräuschmessung werden bevorzugt dortige Detailsignale eingesetzt, deren Frequenzbänder denkbaren Bereich wie ein Filter in einem Geräuschmeßgerät nach dem Stand der Technik abdecken.
- [0021] Für eine zwei-Niveau Wavelet-Transformation unter Verwendung der Coiflet 2 Wavelets erhält man auf diese Weise die in Figur 4 dargestellten Frequenzbänder. Hieraus ist erkennbar, dass die IR-Filte (Finite impulse Response), die für die Wavelet-Transformation eingesetzt werden, Tiefpass- und Hochpassfilter sind. Der Frequenzgehalt des Detailsignals wird durch die verschiedenen Hochfrequenzschwellenblöcke bestimmt, während der Frequenzgehalt des Approximationssignals durch das Frequenzband des Tiefpassfilters begrenzt ist. Das ursprüngliche Signal wird bei einer Frequenz $f_0 = 14,8$ kHz abgesetzt. Die vertikalen Linien zeigen die Nyquist-Frequenzen an, welche den Frequenzgehalt der entsprechenden Approximation und der Detailsignale begrenzen.
- [0022] Um die Frequenzbänder des Detailsignals mit der Form des herkömmlichen Filters zu vergleichen, wurden in Figur 5 die Befläge in einem entsprechenden Amplitudendiagramm aufgetragen. Hieraus kann entnommen werden, dass zwei oder drei Detailbereiche der Wavelet-Transformation (z.B. $\gamma_0, \gamma_1, \gamma_2$) beibehalten werden sollten, um denselben Frequenzbereich wie herkömmliche Filter abzudecken.
- [0023] Das Parseval-Theorem stellt folgende Beziehung zwischen der Wavelet-Transformation mit orthogonalen Wavelets und der Signalfolge her (zur Erläuterung der verwandten Formelzeichen siehe die detaillierte Beschreibung der Grundlagen der Wavelet-Transformation weiter unten):

$$\int |f(x)|^2 dx = \sum_{l=-\infty}^{\infty} |\gamma_0,l|^2 + \sum_{k=-\infty}^{\infty} \sum_{j=0}^{\infty} |\gamma_j,k|^2 \quad (1)$$

$$N_{WVL} = 20 \cdot \log_{10} \left(c \cdot \sqrt{\sum_k \sum_l |\gamma_0,l|^2} \right) \quad (2)$$

[0024] Auf diese Weise kann ein neuer, wavelet-basierter Geräuschindex N_{WVL} definiert werden als

- wobei c ein Skalierungsfaktor zur Anpassung des absoluten Geräuschpegels und n die Anzahl der Abastpunkte des ursprünglichen Signals ist.
- [0025] Die Struktur dieses wavelet-basierten Verbrennungsgeräusch-Messverfahrens ist in Figur 6 dargestellt. Wie bei dem herkömmlichen Verbrennungsgeräusch-Messverfahren setzt ein Kalibrator 11 das eingeschaltete Drucksignal p mit einem Rekratenschaltblock in Beziehung. Da die Verarbeitung der Wavelet-Transformation gleich eins ist, passt Kalibrator 11 auch das Niveau des resultierenden Signals entsprechend dem höchsten Niveau des herkömmlichen Filter an (ca. -90 dB). Dies erfolgt durch Multiplikation des Signals mit einem Faktor vor Anwendung der Wavelet-Transformation.
- [0026] Nach der Wavelet-Transformation in Block 12 wird in Block 13 die Quadratwurzel der Summe derjenigen quadratierten Detailkoeffizienten berechnet, die beibehalten werden, durch die Länge des ursprünglichen Signals dividiert und schließlich in Block 14 in Dezibel (dB) konvertiert.
- [0027] Für die oben erläuterte Wavelet-Transformation wurden Coiflet 2 Wavelets gemäß Figur 7 verwendet. Es können jedoch auch verschiedene andere Wavelets verwendet werden, wobei diese vorzugsweise (näherungsweise) symmetrisch und orthogonale sein sollten.
- [0028] Nach der Wavelet-Transformation in Block 12 wird in Block 13 die Quadratwurzel der Summe derjenigen quadratierten Detailkoeffizienten berechnet, die beibehalten werden, durch die Länge des ursprünglichen Signals dividiert und schließlich in Block 14 in Dezibel (dB) konvertiert.
- [0029] Für den oben beschriebenen Verbrennungsgeräusch-Messgeräte wurden mit denselben Drucksignalen gestoßen, die bei 2440 U/min Motordrehzahl und 7,78 bar mittlerem induzierten Druck für verschiedene Zündsteuerungen und Mengen der Verbrennungsaufgenommen wurden. Die Vorspannzitzenwerte liegen in einem Bereich von 1,5 mm³ bis 2,5 mm³ pro Takt, und die Einspritz-Zitzensteuerung liegt zwischen 8° bis 15° vor dem oberen Tropunkt. Die Abstaufzeiten t_1 beträgt 14,6 kHz (entsprechend 14 Kurbelwinkel bei 2440 U/min).
- [0030] Für die wavelet-basierten Geräuschindizes wurden die ersten drei Detailniveaus der Wavelet-Transformation

EP 1 209 458 A1

betrachtet. Figur 8 zeigt eine ausgeprägte Korrelation zwischen dem Erfassungssignalen (vertikale Achse) und dem horizontischen Index (horizontal Achse). Beide Indizes zeigen etwas dieselbe Sensitivität. Dieses Ergebnis zeigt, dass der waveletbasierte Gertuschindex eine gute Alternative zum horizontischen Gertuschindex darstellt.

j

[0030] Im Folgenden wird die Technik des Wavelet-Transformations mit der Approximationssignal und ein Detailsignal wird ein Signal in ein Approximationssignal und ein Detailsignal zerlegt. Das Approximationssignal enthält niedrigfrequente Information über das Ursprungssignal und stellt eine Art laufende Mittelwertberechnung dar. Das Detailsignal enthält hochfrequente Information die im Approximationssignal verschwunden wird. Figur 1 zeigt am Beispiel der Transformation eines Zylindereindrucks schemaatisch die bei einer Wavelet-Transformation ablaufenden Schritte.

15

[0031] Die Zeiteinteilung eines Ursprungssignals kann bis zu jedem gewünschten Niveau vorangestellt werden, indem das Approximationssignal das vorangegangenen Niveaus als das Startsignal verwendet und ein weiterer Schritt der Wavelet-Transformation angewendet wird. Dieses Vorgehen führt zu einem eindämmigen Approximationssignal und mehreren Detailsignalen. Die resultierenden Signale liegen nach wie vor im Zeitbereich; es wird jedoch auch Information über den Frequenzinhalt offengelegt, da die in dem Detailsignal enthaltenen Spektren bekannt sind. Aus diesem Grunde können zur selben Zeit Aussagen über das Verhalten des ursprünglichen Signals in Zeit und Frequenz gemacht werden.

16

[0032] Bei jedem Schritt der Transformation bleibt die Anzahl der Datenpunkte erhalten: Eine Hälfte der Datenspunkte spezifiert das Approximationssignal, die andere Hälfte das Detailsignal. Das gesamte Vorgehen ist verlustlos, und das ursprüngliche Signal kann immer durch Anwendung der inversen Wavelet-Transformation auf die Approximation und die Detailsignale wiederhergestellt werden.

20

[0033] Das Prinzip der Wavelet-Transformation kann am einfachsten erkannt werden durch einen Vergleich mit der Fourier-Transformation. Beide Transformationen expandieren das ursprüngliche Signal in eine Reihe von Basisfunktionen. Im Falle der Fourier-Transformation

$$f(x) = \frac{1}{2} a_0 + \sum_n [a_n \cos(n\omega_0 x) + b_n \sin(n\omega_0 x)] \quad (3)$$

30 sind die Basisfunktionen Sinusfunktionen. Für die Wavelet-Transformation

$$f(x) = \sum_{k=-\infty}^{\infty} \lambda_{0,k} \varphi(x-k) + \sum_{k=-\infty}^{\infty} \sum_{j=0}^{\infty} \gamma_{j,k} \psi(2^j x - k) \quad (4)$$

sind die Basisfunktionen Skalierungsfunktionen, die die Wavelet-Funktion ψ . Es gibt nicht nur ein Paar von Skalierung- und Wavelet-Funktionen, sondern sehr viele Familien von φ - und ψ -Funktionen mit verschiedenen Eigenschaften, die sie für bestimmte Anwendungen "feines Wellen", deren Energie in einem endlichen Intervall auf der x-Achse a Zeit oder Ort konzentriert ist (vgl. Figur 8). Das ermöglicht es, Zeit- und Frequenzanalyse gleichzeitig durchzuführen. Skalierungsfunktionen und Wavelets haben die folgenden Eigenschaften (vgl. C. S. Burrus, R. A. Gopinath, H. Guo: Introduction to Wavelets and Wavelet Transforms. A Primer; Prentice Hall, Upper Saddle River, New Jersey, 1998):

40

45

1. Die Wavelet-Signale wurden aus einer einzigen Skalierungsfunktion oder einem Wavelet durch Translation (das heißt Lokalisierung der Energie von oder von verschiedenen Orten entlang der unabhängigen Achse durch Subtraktion von k) und Skalierung (das heißt Kompression oder Dehnung der unabhängigen Achse durch Multiplikation von x mit 2^j) erzeugt. Die Skalierungsfunktionen sind gegeben durch

$$\varphi_0(x) = \varphi(x) \quad k \in \mathbb{Z} \quad (5)$$

Das "Mutter-Wavelet" ψ wird durch die zweidimensionale Parameterisierung verschoben und skaliert

55

$$\psi_{jk}(x) = 2^{j/2} \psi(2^j x - k) \quad j, k \in \mathbb{Z} \quad (6)$$

EP 1 209 458 A1

Wobei \mathbb{Z} die Menge aller ganzen Zahlen ist, und der Faktor $2^{j/2}$ eine konstante Normierung unabhängig von der Skala gewährleistet.

2. Die meisten Wavelet-Systeme erfüllen die Multiresolutions-Bedingungen

$$\varphi(x) = \sum_n \tilde{h}(n) \cdot 2^{1/2} \varphi(2x - n), \quad n \in \mathbb{Z} \quad (7)$$

Diese Bedingungen besagen, dass eine Skalierungsfunktion φ oder ein Wavelet ψ als eine gewichtete Summe von voneinander unabhängigen Skalierungsfunktionen $\varphi(2x)$, den nächsten Niveau höherer Auflösung dargestellt werden können. $\tilde{h}(n)$ und $\tilde{g}(n)$ sind die sogenannten Gewichtungs- oder Filterkoeffizienten.

15

[0034] Die Multiresolutions-Eigenschaft bedeutet, dass jedes Signal, welches durch eine gewichtete Summe von $\varphi(k-x)$ dargestellt werden kann, auch als eine gewichtete Summe von $\varphi(2^k x)$ dargestellt werden kann. Wenn die Basisfunktionen halb so breit sind und inhalb so breit breiten können, können sie feineren Details und daher eine größere Klasse von Signalen erfassen.

20

[0035] Das Ziel der Fourier- und der Wavelet-Transformationen besteht darin, Koeffizienten a_n , b_n , $\lambda_{0,k}$ der entsprechenden Reihendarstellung zu finden, da diese unter Umständen nützliche Information über das Signal bereitstellen können, als aus dem ursprünglichen Signal direkt ersichtlich wäre. Anders als die Fourier-Transformation bildet die diskrete Wavelet-Transformation ein eindimensionales abgetastetes Signal in ein zweidimensionales Feld von Koeffizienten ab, dessen zwei Dimensionen die "Zeit" k und die Skala ("Frequenz") j sind. Die Approximationskoeffizienten λ enthalten alle vorliegenden niedrigfrequenten Informationen und haben daher nur einen Index, der die Verwendung erlaubt, um den Unterschied zwischen den zwei Indices zu verdeutlichen.

25

[0036] Wenn die Wavelets oder Skalierungsfunktionen eine orthogonale Basis bilden:

$$\langle \varphi_{j,k}(x), \psi_{l,m}(x) \rangle = \int \varphi_{j,k}(x) \cdot \psi_{l,m}(x) dx = 0 \quad i, j, k, l \in \mathbb{Z}$$

$$\langle \psi_{i,k}(x), \psi_{j,l}(x) \rangle = \int \psi_{i,k}(x) \cdot \psi_{j,l}(x) dx = c \cdot \delta_{ij} \delta_{kl} \quad \delta_{ij} = \begin{cases} 1 & i=j \\ 0 & i \neq j \end{cases} \quad (8)$$

30 können die Approximationskoeffizienten und Detailkoeffizienten durch Bestimmung der inneren Produkte berechnet werden

40

45

$\lambda_{0,k} = \langle f(x), \varphi_{0,k}(x) \rangle = \int f(x) \cdot \varphi_{0,k}(x) dx$

$$\gamma_{j,k} = \langle f(x), \psi_{j,k}(x) \rangle = \int f(x) \cdot \psi_{j,k}(x) dx \quad (9)$$

In der Praxis erweist es sich allerdings nicht als effizient, die diskrete Wavelet-Transformation durch Bestimmung der inneren Produkte zu berechnen. Basierend auf Multiresolutions-Bedingungen kann gezeigt werden, dass nie mit Skalierung- oder Wavelet-Funktionen direkt gearbeitet werden muss. Unter Beachtung von λ und γ als abgetastete Signale können digitale Filter gefunden werden, welche die Approximation- und Detailsignale auf verschiedenen Skalen berechnen. Auf diese Weise können die folgenden Gleichungen abgeleitet werden:

$$\begin{aligned} \lambda_j(k) &= \sum_n \bar{h}(-n) \cdot \lambda_{j+1}(2k-n) \\ \gamma_j(k) &= \sum_n \bar{g}(-n) \cdot \lambda_{j+1}(2k-n) \end{aligned} \quad (10)$$

10 Die digitalen Filter werden durch die Koeffizienten $\bar{h}(-n)$ und $\bar{g}(-n)$ beschrieben. Es handelt sich hierbei um FIR-Filter. Der Filter \bar{h} , der zur Berechnung des Approximationssignals verwendet wird, ist ein Tiefpassfilter, während \bar{g} , der zur Berechnung des Detailsignals verwendet wird, ein Hochpassfilter ist.

15 [0027] In Figur 1 sind die Frequenzantworten eines Paars benachbarter Filter dargestellt. Gemäß Gleichung (10) muss die Abstraktionsrate des Signals nach der Filterung eines Peaks (down-sampling) werden, um die Signale λ_{jk} und γ_{jk} ge-richtiger Auflösung zu erhalten. Die Filterung und Abstraktionsrate kann an den Approximationssignalen in ihrer relativer Weise vorgenommen werden, um die gesamte Wavelet-Zerlegung mit verschiedenen Skalen j und ein endgültiges Approximationssignal zu finden. Die resultierendebaumartige Struktur von Filtern ist in Figur 11 gezeigt. In diesem Beispiel wird das ursprünglich abgetastete Signal $\lambda_{0,k}$ in ein Approximationssignal λ_{jk} und zwei Detailsignale γ_{jk} und $\gamma_{0,k}$ zerlegt.

20 Patentansprüche

1. Verfahren zur Bestimmung des Geräuschpegels bei Betrieb einer Brennkraftmaschine, bei dem ein den Zylinderdruck (p) repräsentierendes Signal gemessen und gefiltert wird und aus dem gefilterten Wert ein Maß für den Geräuschpegel der Brennkraftmaschine berechnet wird, dadurch gekennzeichnet, dass bei der Filterung eine Wavelet-Transformation durchgeführt wird und dass das Maß für den Geräuschpegel anhand des Ergebnisses der Wavelet-Transformation berechnet wird.
2. Verfahren nach Anspruch 1, dadurch gekennzeichnet, dass nur diejenigen Koeffizienten der Wavelet-Transformation für die Berechnung des Geräuschpegels verarbeitet werden, die Frequenzen einer vorgegebenen Bandbreite repräsentieren.
3. Verfahren nach Anspruch 1 oder 2, dadurch gekennzeichnet, dass die Wavelet-Transformation eine diskrete digitale Wavelet-Transformation ist.
4. Verfahren nach mindestens einem der Ansprüche 1 bis 3, dadurch gekennzeichnet, dass die Wavelet-Transformation mit Coiflet 2-Waveletfunktionen durchgeführt wird.
5. Verfahren nach Anspruch 4, dadurch gekennzeichnet, dass zwei oder drei Detailkoeffizienten der Wavelet-Transformation zur Berechnung des Maßes für den Geräuschpegel herangezogen werden.
6. Verfahren nach einem der Ansprüche 1 bis 5, dadurch gekennzeichnet, dass zur Berechnung des Geräuschpegels die Quotientenwurzel der Summe der quadrierten, bei der Wavelet-Transformation erhaltenen Detailkoeffizienten berechnet und durch die Länge des ursprünglichen Signals dividiert wird.
7. Verfahren zur Rückkopplungsregelung des Geräuschpegels einer Brennkraftmaschine mittels einer Veränderung der Motorarbeitsparameter, dadurch gekennzeichnet, dass ein Maß für den Geräuschpegel der Brennkraftmaschine in einem Verfahren nach einem der Ansprüche 1 bis 6 bestimmt und als Ist-GröÙe für die Rückkopplungsregelung verwendet wird.

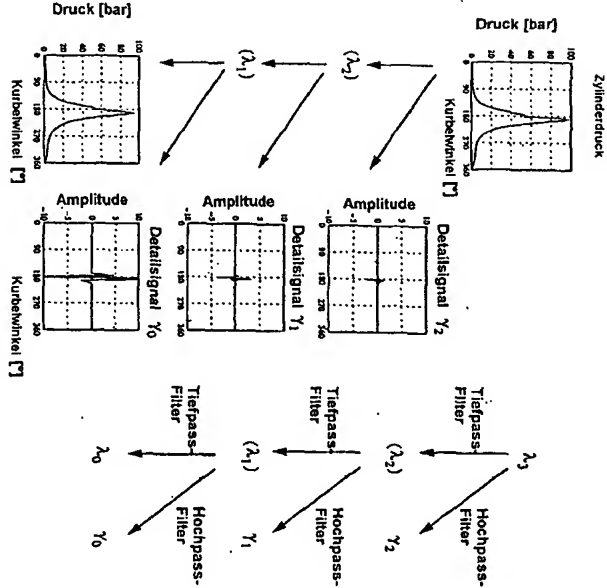
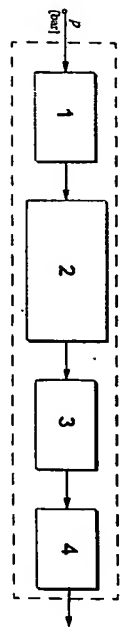
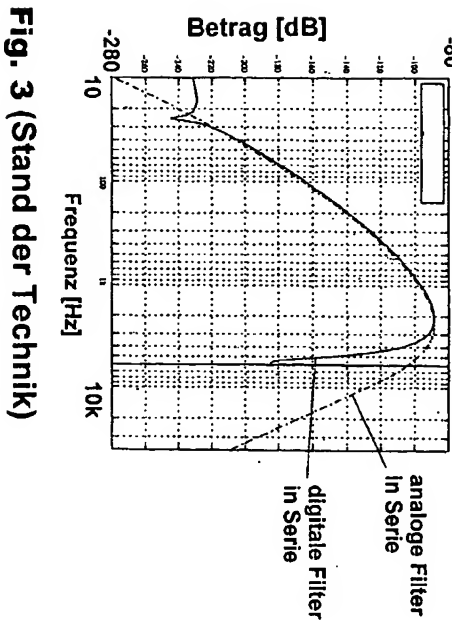
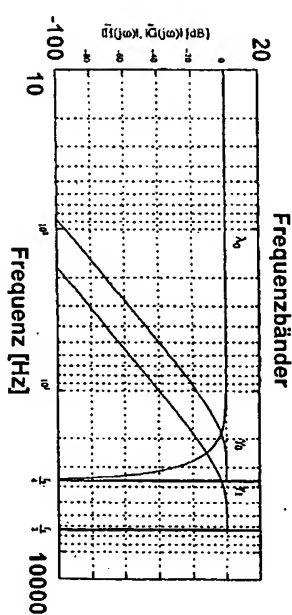
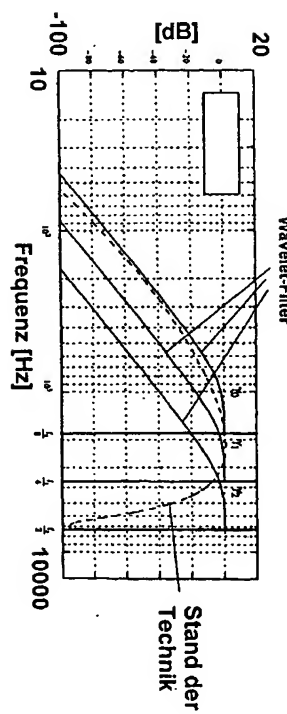
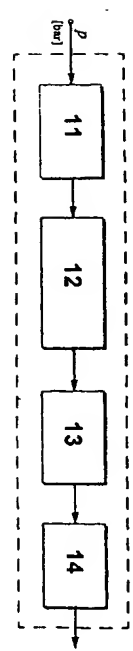


Fig. 1

**Fig. 2 (Stand der Technik)****Fig. 3 (Stand der Technik)****Fig. 4****Fig. 5****Fig. 6**

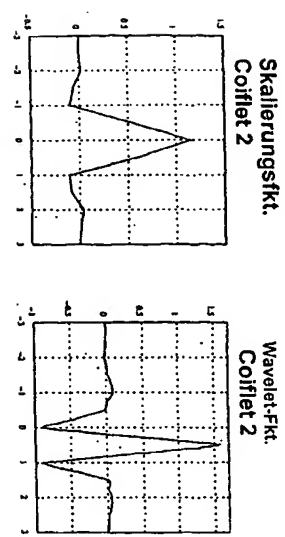


Fig. 7

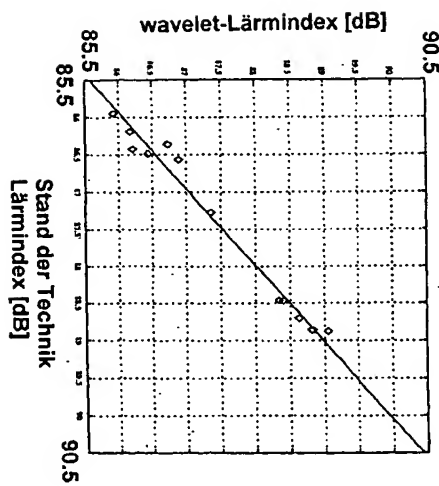


Fig. 8

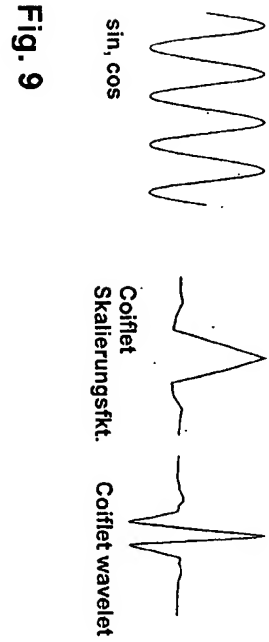


Fig. 9

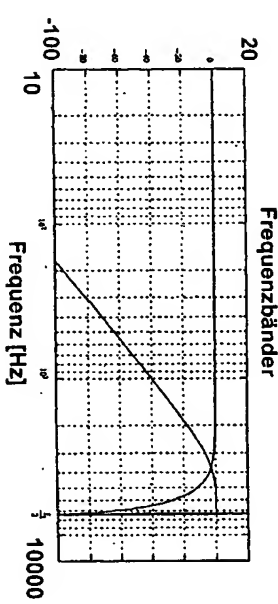


Fig. 10

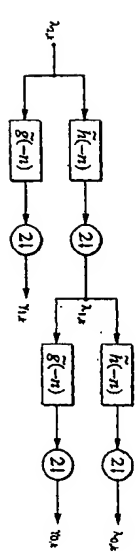


Fig. 11



**Europäisches
EUROPÄISCHER RECHERCHEBERICHT**

Nummer der Anmeldung
EP 00 71 0035

**ANHANG ZUM EUROPÄISCHEN RECHERCHEBERICHT
ÜBER DIE EUROPÄISCHE PATENTANMELDUNG NR.**

EP 00 71 0035
22-05-2001

In diesem Anhang sind die Mitglieder der Patentfamilien, die im obengenannten europäischen Rechercbericht aufgeführt sind, angegeben.
Die Angaben über die FamiliengröÙe entsprechen dem Stand der Datei des Europäischen Patentamts am
22-05-2001.
Diese Angaben dienen nur zur Orientierung und enthalten ohne Gewähr.

EIN SCHLÄGIGE DOKUMENTE			
Kategorie			Kennzeichnung des Dokuments mit Angabe, wann erforderlich:
X	KIKUCHI H ET AL.: "FAST NON-ORTHOGONAL WAVELET TRANSFORMS AND RECONSTRUCTION FOR DETONATION DETECTION", CHICAGO, MAY 3 - 6, 1993, NEW YORK, IEEE, US, 00. - , 3, Mai 1993 (1993-05-03), Seiten 503-506, XP000410045	BarriÈre-Ausgabe (P-0,7)	Ausgabeschluss
Y	* das ganze Dokument *		
Z	A. ISMAIL ET AL.: "Discrete Wavelet transform: a tool in smoothing kinematic data", JOURNAL OF BIOMECHANICS, Bd. 32, 1999, Seiten 317-321, XP000989416	4,5	
A	* das ganze Dokument *	4,5	
A	US 5 784 300 A (ZINN BEN T .ET AL.) 21. Juli 1998 (1998-07-21)	1	
A	* das ganze Dokument *		
A	FLORKONSKI M: "WAVELET DEMOSING OF PARTIAL DISCHARGE IMAGES", XI AN, CHINA, JUNE 21 - 26, 2000, NEW YORK, NY: IEEE US, Bd. CONF. 6, 21. Juni 2000 (2000-06-21), Seiten 459-462, XP000597738	1	G01M
A	* das ganze Dokument *		
Der vorliegende Rechercbericht wurde für alle Patentrechte erfasst!			
Hinweis:		Abzeichnen oder Signieren	
DEN HAAG		22. Mai 2001	
		Zaf11000U05, N	

EPO FORM PC401	
Der vorliegende Rechercbericht wurde für alle Patentrechte erfasst!	
Hinweis:	Abzeichnen oder Signieren
DEN HAAG	22. Mai 2001
Zaf11000U05, N	

EPO FORM PC401	
Der vorliegende Rechercbericht wurde für alle Patentrechte erfasst!	
Hinweis:	Abzeichnen oder Signieren
DEN HAAG	22. Mai 2001
Zaf11000U05, N	

EPO FORM 1503 01 22 (PC402)

KATEGORIE DER GEHANDELTEN DOKUMENTE

X von mehreren Methoden bestehend, die nach einer oder mehreren Verfahrensweisen operieren können

Y technologische Voraussetzung, die eine gewisse Art von Dokumenten erfordert

A technologische Herstellung

O : technologische Entwicklung

C : technologische Entwicklung

D : technologische Entwicklung

E : technologische Entwicklung

F : technologische Entwicklung

G : technologische Entwicklung

H : technologische Entwicklung

I : technologische Entwicklung

J : technologische Entwicklung

K : technologische Entwicklung

L : technologische Entwicklung

M : technologische Entwicklung

N : technologische Entwicklung

O : technologische Entwicklung

P : technologische Entwicklung

Q : technologische Entwicklung

R : technologische Entwicklung

S : technologische Entwicklung

T : technologische Entwicklung

U : technologische Entwicklung

V : technologische Entwicklung

W : technologische Entwicklung

X : technologische Entwicklung

Y : technologische Entwicklung

Z : technologische Entwicklung

AA : technologische Entwicklung

BB : technologische Entwicklung

CC : technologische Entwicklung

DD : technologische Entwicklung

EE : technologische Entwicklung

FF : technologische Entwicklung

GG : technologische Entwicklung

HH : technologische Entwicklung

II : technologische Entwicklung

JJ : technologische Entwicklung

KK : technologische Entwicklung

LL : technologische Entwicklung

MM : technologische Entwicklung

NN : technologische Entwicklung

OO : technologische Entwicklung

PP : technologische Entwicklung

QQ : technologische Entwicklung

RR : technologische Entwicklung

SS : technologische Entwicklung

TT : technologische Entwicklung

UU : technologische Entwicklung

VV : technologische Entwicklung

WW : technologische Entwicklung

XX : technologische Entwicklung

YY : technologische Entwicklung

ZZ : technologische Entwicklung

AA : technologische Entwicklung

BB : technologische Entwicklung

CC : technologische Entwicklung

DD : technologische Entwicklung

EE : technologische Entwicklung

FF : technologische Entwicklung

GG : technologische Entwicklung

HH : technologische Entwicklung

II : technologische Entwicklung

JJ : technologische Entwicklung

KK : technologische Entwicklung

LL : technologische Entwicklung

MM : technologische Entwicklung

NN : technologische Entwicklung

OO : technologische Entwicklung

PP : technologische Entwicklung

QQ : technologische Entwicklung

RR : technologische Entwicklung

SS : technologische Entwicklung

TT : technologische Entwicklung

UU : technologische Entwicklung

VV : technologische Entwicklung

WW : technologische Entwicklung

XX : technologische Entwicklung

YY : technologische Entwicklung

ZZ : technologische Entwicklung

AA : technologische Entwicklung

BB : technologische Entwicklung

CC : technologische Entwicklung

DD : technologische Entwicklung

EE : technologische Entwicklung

FF : technologische Entwicklung

GG : technologische Entwicklung

HH : technologische Entwicklung

II : technologische Entwicklung

JJ : technologische Entwicklung

KK : technologische Entwicklung

LL : technologische Entwicklung

MM : technologische Entwicklung

NN : technologische Entwicklung

OO : technologische Entwicklung

PP : technologische Entwicklung

QQ : technologische Entwicklung

RR : technologische Entwicklung

SS : technologische Entwicklung

TT : technologische Entwicklung

UU : technologische Entwicklung

VV : technologische Entwicklung

WW : technologische Entwicklung

XX : technologische Entwicklung

YY : technologische Entwicklung

ZZ : technologische Entwicklung

AA : technologische Entwicklung

BB : technologische Entwicklung

CC : technologische Entwicklung

DD : technologische Entwicklung

EE : technologische Entwicklung

FF : technologische Entwicklung

GG : technologische Entwicklung

HH : technologische Entwicklung

II : technologische Entwicklung

JJ : technologische Entwicklung

KK : technologische Entwicklung

LL : technologische Entwicklung

MM : technologische Entwicklung

NN : technologische Entwicklung

OO : technologische Entwicklung

PP : technologische Entwicklung

QQ : technologische Entwicklung

RR : technologische Entwicklung

SS : technologische Entwicklung

TT : technologische Entwicklung

UU : technologische Entwicklung

VV : technologische Entwicklung

WW : technologische Entwicklung

XX : technologische Entwicklung

YY : technologische Entwicklung

ZZ : technologische Entwicklung

AA : technologische Entwicklung

BB : technologische Entwicklung

CC : technologische Entwicklung

DD : technologische Entwicklung

EE : technologische Entwicklung

FF : technologische Entwicklung

GG : technologische Entwicklung

HH : technologische Entwicklung

II : technologische Entwicklung

JJ : technologische Entwicklung

KK : technologische Entwicklung

LL : technologische Entwicklung

MM : technologische Entwicklung

NN : technologische Entwicklung

OO : technologische Entwicklung

PP : technologische Entwicklung

QQ : technologische Entwicklung

RR : technologische Entwicklung

SS : technologische Entwicklung

TT : technologische Entwicklung

UU : technologische Entwicklung

VV : technologische Entwicklung

WW : technologische Entwicklung

XX : technologische Entwicklung

YY : technologische Entwicklung

ZZ : technologische Entwicklung

AA : technologische Entwicklung

BB : technologische Entwicklung

CC : technologische Entwicklung

DD : technologische Entwicklung

EE : technologische Entwicklung

FF : technologische Entwicklung

GG : technologische Entwicklung

HH : technologische Entwicklung

II : technologische Entwicklung

JJ : technologische Entwicklung

KK : technologische Entwicklung

LL : technologische Entwicklung

MM : technologische Entwicklung

NN : technologische Entwicklung

OO : technologische Entwicklung

PP : technologische Entwicklung

QQ : technologische Entwicklung

RR : technologische Entwicklung

SS : technologische Entwicklung

TT : technologische Entwicklung

UU : technologische Entwicklung

VV : technologische Entwicklung

WW : technologische Entwicklung

XX : technologische Entwicklung

YY : technologische Entwicklung

ZZ : technologische Entwicklung

AA : technologische Entwicklung

BB : technologische Entwicklung

CC : technologische Entwicklung

DD : technologische Entwicklung

EE : technologische Entwicklung

FF : technologische Entwicklung

GG : technologische Entwicklung

HH : technologische Entwicklung

II : technologische Entwicklung

JJ : technologische Entwicklung

KK : technologische Entwicklung

LL : technologische Entwicklung

MM : technologische Entwicklung

NN : technologische Entwicklung

OO : technologische Entwicklung

PP : technologische Entwicklung

QQ : technologische Entwicklung

RR : technologische Entwicklung

SS : technologische Entwicklung

TT : technologische Entwicklung

UU : technologische Entwicklung

VV : technologische Entwicklung

WW : technologische Entwicklung

XX : technologische Entwicklung

YY : technologische Entwicklung

ZZ : technologische Entwicklung

AA : technologische Entwicklung

BB : technologische Entwicklung

CC : technologische Entwicklung

DD : technologische Entwicklung

EE : technologische Entwicklung

FF : technologische Entwicklung

GG : technologische Entwicklung

HH : technologische Entwicklung

II : technologische Entwicklung

JJ : technologische Entwicklung

KK : technologische Entwicklung

LL : technologische Entwicklung

MM : technologische Entwicklung

NN : technologische Entwicklung

OO : technologische Entwicklung

PP : technologische Entwicklung

QQ : technologische Entwicklung

RR : technologische Entwicklung

SS : technologische Entwicklung

TT : technologische Entwicklung

UU : technologische Entwicklung

VV : technologische Entwicklung

WW : technologische Entwicklung

XX : technologische Entwicklung

YY : technologische Entwicklung

ZZ : technologische Entwicklung

AA : technologische Entwicklung

BB : technologische Entwicklung

CC : technologische Entwicklung

DD : technologische Entwicklung

EE : technologische Entwicklung

FF : technologische Entwicklung

GG : technologische Entwicklung

HH : technologische Entwicklung

II : technologische Entwicklung

JJ : technologische Entwicklung

KK : technologische Entwicklung

LL : technologische Entwicklung

MM : technologische Entwicklung

NN : technologische Entwicklung

OO : technologische Entwicklung

PP : technologische Entwicklung

QQ : technologische Entwicklung

RR : technologische Entwicklung

SS : technologische Entwicklung

TT : technologische Entwicklung

UU : technologische Entwicklung